



فصلنامه علمی ((دفاع هوافضایی))

دوره ۱، شماره ۲، شهریور ۱۴۰۱

عنوان مقالات

مقاله پژوهشی

**مطالعه عددی پاشش سوخت در موتورهای دیزل مورداستفاده در سامانه‌های موشکی
پدافند هوایی تحت تأثیر پدیده کاویتاسیون داخل مجرای انژکتور**

محمد پور جعفرقلی^۱، علی مهدوی^۲

۱. استادیار، دانشکده مهندسی مکانیک، دانشگاه پدافند هوایی خاتم الانبیاء (ص)، تهران، ایران.
 ۲. کارشناس ارشد مکانیک، دانشگاه پدافند هوایی خاتم الانبیاء (ص)، تهران، ایران.

چکیده

اطلاعات مقاله

در مطالعه حاضر، پاشش سوخت و رفتار هیدرودینامیک افشانه سوخت، تحت پدیده کاویتاسیون داخل مجرای انژکتور در محفظه احتراق موتور دیزل بهوسیله نرم‌افزار AVL-Fire به صورت عددی مورد مطالعه قرار گرفته است. شبیه‌سازی افشانه شامل پدیده جریان دوفازی بوده و نیازمند حل عددی معادلات بقا برای فاز گاز و مایع به صورت همزمان می‌باشد. جریان کاویتاسیونی داخل نازل با استفاده از روش دوسيالی اويلر-اويلر شبیه‌سازی شده است. در اين روش، سوخت مایع و بخار آن به صورت دو فاز پيوسته در نظر گرفته می‌شود و معادلات حاكم برای هر فاز به صورت جداگانه حل می‌شود. توسعه و فروپاشی افشانه با استفاده از روش اويلری-lagrangian شبیه‌سازی می‌شود. در اين روش، گاز درون محفظه احتراق در مختصات اويلری و قطرات سوخت در مختصات lagrangian در نظر گرفته می‌شود. در شبیه‌سازی‌های انجام گرفته برای فشار تزریق دو مقدار ۶۰ و ۱۰۰ مگاپاسکال و فشار محفظه برابر ۲ مگاپاسکال در نظر گرفته شده است. نتایج نشان داد که برای هر دو فشار تزریق، پدیده کاویتاسیون ایجاد می‌شود، هرچند پدیده کاویتاسیون فقط برای فشار تزریق ۱۰۰ مگاپاسکال تا انتهای خروجی نازل ادامه می‌یابد. بنابراین فشار تزریق بالا، باعث افزایش سرعت سوخت در اريفييس انژکتور شده و باعث به وجود آمدن پدیده کاویتاسیون می‌شود. در فشارهای بالا کاویتاسیون سریع رشد می‌کند، درنتیجه باعث اتمیزاسیون بهتر شده و قطر متوسط ذرات کاهش می‌یابد.

تاریخ پذیرش: ۱۴۰۱/۰۳/۱۴

تاریخ دریافت: ۱۴۰۰/۰۸/۱۲

كلمات کلیدی:

نازل، کاویتاسیون، افشانه
 سوخت، طول نفوذ افشانه، قطر
 ميانگين قطرات.



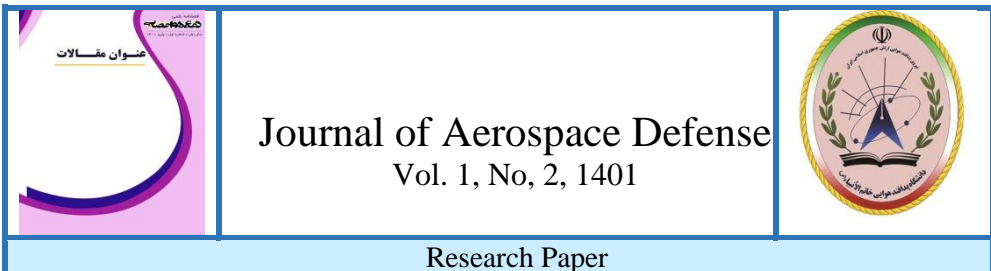
نويسنده مسئول:

محمد پور جعفرقلی

اييميل:

mpourjafargholi@gmail.com

استناد به مقاله: محمد پور جعفرقلی، علی مهدوی، مطالعه عددی پاشش سوخت در موتورهای دیزل مورداستفاده در سامانه‌های موشکی پدافند هوایی تحت تأثیر پدیده کاویتاسیون داخل مجرای انژکتور، مجله علمی دفاع هوافضایی دوره ۱، شماره ۲، شهریور ۱۴۰۱.



Numerical Study of fuel spray on diesel engines used in Air defense missile systems influenced by the phenomenon of cavitation in injection duct

Mohammad pourjafargholi¹, Ali mahdavi²

1. Department of Mechanical Engineering, Khatam Ol Anbia (PBU) University, Tehran, Iran
 2. Department of Mechanical Engineering, Khatam Ol Anbia (PBU) University, Tehran, Iran

Article Information

Accepted: 1401/03/14

Received: 1400/08/12

Keywords

Nozzle, Cavitation, Fuel spray, Spray penetration length, Average diameter of droplets.



Corresponding author:

Mohammad pourjafargholi

Email:

mpourjafargholi@gmail.com

Abstract

In the present study, fuel injection and hydrodynamic behavior of fuel spray has been studied numerically under the cavitation phenomenon inside the injector chamber in the combustion chamber of the diesel engine using AVL-Fire software. Spray simulation involves the phenomenon of two-phase flow and requires the numerical solution of the survival equations for the gas phase and the liquid simultaneously. The cavitation flow inside the nozzle is simulated using the Euler-Eulerian method. In this method, liquid and vapor fuels are considered as continuous two-phase, and the governing equations are solved separately for each phase. Spray development and decomposition are simulated using the Eulerian- Lagrangian method. In this method, the gas inside the combustion chamber is considered in the Eulerian coordinates and fuel droplets in Lagrangian coordinates. In the simulations carried out for compression, two values of 60 and 100 MPa are considered for a pressure of 2 MPa. The results showed that for both injections, the cavitation phenomenon is created, although the cavitation phenomenon continues only for the injection pressure of 100 MPa until the end of the nozzle outlet. Therefore, the high injection pressure causes an increase in fuel velocity in the injector orifice and causes a cavitation phenomenon. At high pressures, cavitation grows rapidly, resulting in better atomization and lower average particle diameter.

HOW TO CITE: Mohammad pourjafargholi, Ali mahdavi, Numerical Study of fuel spray on diesel engines used in Air defense missile systems influenced by the phenomenon of cavitation in injection duct, Journal of Aerospace Defense, Vol. 1, No. 2, 1401.

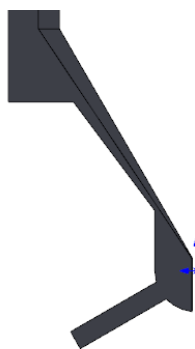
۱. مقدمه

امروزه افزایش نگرانی‌ها برای حفاظت از محیط‌زیست باعث شده است که کاهش گازهای آلینده و احتراق سوخت یکی از مهم‌ترین چالش‌ها در طراحی موتورهای دیزل شود. اساس طراحی موتورهای دیزل، جریان داخلی نازل و افشاره سوخت و درنتیجه آن ترکیب هوا-سوخت می‌باشد. در سامانه‌های نظامی مانند سامانه موشکی هاک که منبع تغذیه آن‌ها جریان الکتریکی می‌باشد برای تولید برق این سامانه‌ها از دیزل ژنراتور استفاده می‌شود که نحوه پاشش سوخت در محفظه احتراق موتور دیزل، شکل افشاره و کیفیت اتمیزه شدن آن بهشت در عملکرد و خروجی گازهای گلخانه‌ای موتور تأثیر می‌گذارد. اگر این افشاره به قطرات کوچک‌تر تبدیل شود، احتراق بهتر و سریع‌تر صورت می‌گیرد و همچنین عملکرد موتور و گشتاور افزایش می‌یابد و خروجی موتور کاهش می‌یابد [۱]. فهم جزئیات جریان سوخت در اریفیس ۱ و تأثیر آن بر روی ویژگی‌های افشاره یکی از ضعف‌ها در شبیه‌سازی رفتار افشاره سوخت در داخل محفظه احتراق می‌باشد. نازل‌ها دارای ابعاد کوچکی هستند و جریان در داخل اریفیس دارای سرعت بالایی می‌باشد، علاوه بر آن جریان در داخل انژکتور به صورت ناپایا است و مدت زمان پاشش بسیار کم است. مطالعات تجربی بر روی رفتار جریان سوخت در داخل اریفیس بسیار مشکل است و مطالعات عددی ابزارهای قدرتمندی را برای درک بهتر از رفتار جریان سوخت در انژکتور فراهم می‌کنند. بهبود ویژگی‌های افشاره باعث بهبود در عملکرد موتورهای دیزل می‌گردد. خصوصیات افشاره سوخت بهشت تحت تأثیر رفتار جریان سوخت در انژکتور می‌باشد و تعیین نسبت سوخت در خروجی نازل شرایط اولیه را برای تعیین خصوصیات افشاره در محفظه احتراق فراهم می‌کند [۲]. بنابراین برای درک بهتر رفتار افشاره، مطالعات عددی و تجربی مهم می‌باشد. خصوصیات افشاره به طور چشمگیری با رژیم جریان سیال در سوراخ انژکتور تأثیرپذیر است. تحقیقات نشان می‌دهد که پدیده کاویتاسیون در جریان سیال زمانی اتفاق می‌افتد که پمپ انژکتور بتواند فشار بالایی را ایجاد کند [۳]. در مطالعه انجام گرفته توسط دکتر شروانی تبار و همکاران [۴] برای یک هندسه خاص از نازل، تأثیرات کاویتاسیون بر روی کیفیت و خصوصیات افشاره نظیر طول نفوذ، قطر متوسط ذرات و توزیع سوخت به صورت عددی بررسی شده است. آن‌ها به بررسی تأثیر شعاع انحنای ورودی نازل روی ایجاد کاویتاسیون و افشاره تشکیل گرفته، پرداخته و نشان دادند که با کاهش شعاع انحنای ورودی (R/D) قطر میانگین قطرات کاهش می‌یابد. این کاهش به معنای کاویتاسیون بهتر در داخل نازل، اتمیزاسیون بهتر افشاره، مخلوط سوخت و هوای بهتر و درنتیجه تجزیه بهتر سوخت می‌باشد. نتیجه دیگر این که با کاهش شعاع انحنای، جزء بخاری سیال داخل افزایش می‌یابد که به معنای افزایش میزان

کاویتاسیون می‌باشد. قوی‌ترین کاویتاسیون در ($R/D = 0$) رخ می‌دهد، زمانی که چگالی سوخت کمترین مقدار در مرکز افشاره را دارد که نشان‌دهنده ترکیب هوا-سوخت بهتر می‌باشد. با افزایش (R/D) و کاهش کاویتاسیون، چگالی سوخت در مرکز افشاره بیشتر می‌شود و کیفیت ترکیب هوا-سوخت کاهش می‌یابد. پدیده کاویتاسیون در روزنه نازل اثر مهمی بر روی ویژگی‌های افشاره مانند طول نفوذ، قطر متوسط قطرات و توزیع سوخت دارد [۵ و ۶]. ساختار کاویتاسیون به هندسه نازل و شرایط مرزی فشار بستگی دارد. حباب‌های کاویتاسیون بعد از خروج از نازل دچار فروپاشی می‌شوند و باعث تجزیه اولیه می‌شوند، کاویتاسیون باعث کاهش تنش برشی بین دیوار و جریان سیال می‌شود، بنابراین زمانی که کاویتاسیون افزایش می‌یابد سرعت نیز افزایش می‌یابد [۷ و ۸]. در سال‌های اخیر مطالعات زیادی درباره جریان داخل نازل و هندسه نازل و رابطه آن‌ها با اتمیزاسیون سوخت و خصوصیات افشاره انجام گرفته است [۹ و ۱۰]. هون کیو سو [۱۱] نیز تأثیرات کاویتاسیون بر روی اتمیزاسیون سوخت دیزل را موردنرسی قرار داده و نشان داد جریان کاویتاسیون در داخل اوریفیس برای مقادیر مختلف (L/D) ایجاد می‌شود. میلان ویانوویچ و همکاران [۱۲] پاشش سوخت در موتورهای دیزلی را با استفاده از رویکرد چند فازی اولرین به صورت عددی بررسی کرده و نتایج آن را با نتایج تجربی مقایسه کردند. نتایج آن‌ها نشان داد که طول نفوذ مایع با افزایش فشار محفظه کوتاه می‌شود، درحالی که طول نفوذ بخار با افزایش فشار تزریق بیشتر می‌شود. همچنین گنگ و و همکاران [۱۳] تکامل زمانی پاشش سوخت تزریقی تقسیم‌شده در فشارهای محفظه بالا را موردمطالعه قرار دادند. نتایج آن‌ها نشان داد که میزان نفوذ در موقعیت دم پاشش هیچ ارتباطی با فشار تزریق سوخت ندارد. با این حال، افزایش فشار تزریق باعث توسعه سریع‌تر نفوذ در موقعیت نوک پاشش می‌شود. در مطالعه حاضر، پاشش سوخت و رفتار هیدرودینامیک افشاره سوخت، تحت پدیده کاویتاسیون داخل مجرای انژکتور در محفظه احتراق موتور دیزل به وسیله نرم‌افزار AVL-Fire به صورت عددی بررسی خواهد شد.

۲. مدل محاسباتی

برای شبیه‌سازی پدیده کاویتاسیون در داخل نازل با در نظر گرفتن جریان دوفازی شامل دیزل مایع و دیزل بخار، از مدل اویلر-اویلر استفاده شده است، نتایج حاصل از محاسبات جریان داخل نازل در مقطع خروجی اریفیس ذخیره شده و برای شبیه‌سازی افشاره به عنوان داده‌های ورودی مورداستفاده قرار گرفته است. برای شبیه‌سازی افشاره از یک انژکتور تک سوراخه با طول اریفیس ۱ میلی‌متر و قطر خروجی $2/0$ میلی‌متری و تقریب اویلر-لاگرانژ استفاده شده است. با توجه به شرایط مرزی متقارن انژکتور و برای افزایش دقت و کاهش زمان محاسبات عددی، تنها یک دوازدهم هندسه انژکتور (شکل ۱) شبیه‌سازی شده است.



شکل ۱: هندسه انژکتور

۳. معادلات حاکم

۱-۳ معادلات حاکم بر جریان چند فازی در نازل

کاویتاسیون در نازل انژکتور دیزل، در ورودی سوراخ نازل ظاهر می‌شود. به علت وقوع پدیده کاویتاسیون در جریان داخل نازل، حباب‌های بخار در نواحی با فشار پایین‌تر از فشار بخار اشباع ایجاد شده و همراه با جریان به نواحی با فشار بالاتر منتقل شده و منفجر می‌شوند. اختلاف فشار بالا مابین ابتدا و انتهای اریفیس انژکتور علاوه بر مشخصات هندسی نازل انژکتور که سرعت جریان را در خروجی نازل افزایش می‌دهد، منجر به داشتن فشار دینامیکی بالاتر و فشار استاتیکی پایین در جریان داخلی نازل شده و درنهایت باعث رشد کاویتاسیون می‌شود. معادلات بقایی در قالب چند سیالی به صورت زیر تعریف شده‌اند [۱۴].

الف- معادله بقای جرم

معادله بقای جرم با رابطه (۱) تعریف می‌شود:

$$\frac{\partial \alpha_k \rho_k}{\partial t} + \nabla \cdot \alpha_k \rho_k \mathbf{v}_k = \sum_{l=1, l \neq k}^N \Gamma_{kl} \quad k = 1, \dots, N \quad (1)$$

که در آن α_k کسر حجمی فاز k ، \mathbf{v}_k سرعت فاز k و Γ_{kl} تبادل جرم بین دو فاز k و l را در سطح مشترک نشان می‌دهد. شرایط سازگاری به صورت رابطه زیر باید ارضا شود:

$$\sum_{K=1}^N \alpha_k = 1$$

ب- معادله بقای مومنتوم

$$\begin{aligned}
 \frac{\partial \alpha_k \rho_k v_k}{\partial t} + \nabla \cdot \alpha_k \rho_k v_k v_k &= -\alpha_k \nabla p + \nabla \cdot \alpha_k (\tau_k + T_k^t) + \alpha_k \rho_k f \\
 &+ \sum_{l=1, l \neq k}^N \mathbf{M}_{kl} \\
 &+ v_k \sum_{l=1, l \neq k}^N \Gamma_{kl} \quad .K = 1, \dots, N
 \end{aligned} \tag{2}$$

پ- معادله انرژی جنبشی آشفتگی

$$\begin{aligned}
 \frac{\partial \alpha_k \rho_k k_k}{\partial t} + \nabla \cdot \alpha_k \rho_k v_k k_k &= \nabla \cdot \alpha_k \left(\mu_k + \frac{\mu_k^t}{\sigma_k} \right) \nabla k_k + \alpha_k P_k \\
 &- \alpha_k \rho_k \varepsilon_k + \sum_{l=1, l \neq k}^N k_{kl} \\
 &+ k_k \sum_{l=1, l \neq k}^N \Gamma_{kl} \quad k = 1, \dots, N
 \end{aligned} \tag{3}$$

۲-۳ معادلات حاکم بر افشاره

شبیه‌سازی افشاره شامل پدیده‌ی جریان چند فازی می‌باشد و نیازمند حل عددی معادلات بقا برای فاز گاز و مایع به صورت همزمان می‌باشد. در رابطه با فاز مایع، عملاً امروزه تمام محاسبات افشاره در محیط‌های مهندسی بر اساس یک روش آماری به نام روش قطره مجزا ۲ می‌باشد. این روش به‌وسیله حل معادلات دیفرانسیل معمولی برای مسیر، مومنتوم، انتقال گرما و جرم برای قطرات واحدی که از گروه‌های متفاوت انجام می‌شود. معادلات حاکم به صورت زیر می‌باشند.

الف- معادله بقای مومنتوم

معادله بقای مومنتوم نیز به شکل زیر داده شده است:

$$m_d \frac{du_{id}}{dt} = F_{idr} + F_{ig} + F_{ip} + F_{ivm} + F_{ib} \quad (4)$$

$$F_{idr} = \frac{1}{2} \rho_g A_d C_d |u_{rel}| \cdot u_{irel} \quad (5)$$

$$C_d = \begin{cases} \frac{24}{Re_d C_p} (1 + 0 \cdot 15 Re_d^{0.687}) & Re_d < 10^3 \\ 0 \cdot 44 / C_p & Re_d \geq 10^3 \end{cases} \quad (6)$$

در رابطه بالا F_{idr} نیروی درگ است.

عدد رینولدز ذرات به صورت زیر تعریف می‌شود که در آن μ_g ویسکوزیته سیال است. C_p ضریب رابطه کانینگهام است.

$$Re_d = \frac{\rho_g |u_{rel}| D_d}{\mu_g} \quad (7)$$

در معادله (4) تمامی نیروهای سطحی و بدنی روی قطره افشاره لحظه شده‌اند. از آنجایی که بزرگی نیروهای فشاری و سایر نیروهای در مقایسه با نیروهای درگ و گرانشی قابل اغماض است فقط نیروی درگ روی قطره افشاره برای فروپاشی اولیه و ثانویه افشاره سوخت مایع لحظه شده است. شتاب قطره در محیط گازی به صورت زیر داده شده است.

$$\frac{du_{id}}{dt} = \frac{3}{4} C_d \frac{\rho_g}{\rho_d} \frac{1}{D_d} |u_g - u_d| (u_{ig} - u_{id}) + (1 - \frac{\rho_g}{\rho_d}) g_i \quad (8)$$

زیر مدل‌های استفاده شده در مدول افشاره شامل مدل تبخیر دوکویچ^۳، مدل فروپاشی اولیه تزریق گلوله^۴ و مدل فروپاشی ثانویه موج می‌باشند.

۳-۳ فروپاشی اولیه - مدل تزریق گلوله

نرخ فروپاشی آشفتگی از مقیاس‌های طول آشفتگی r_T و زمان آشفتگی τ_T محاسبه می‌شود:

$$r_T = C_\mu^{0.75} \frac{k^{1.5}}{\varepsilon} \quad (9)$$

$$\tau_T = C_\mu \frac{k}{\varepsilon} \quad (10)$$

$$\frac{dR}{dt} = -\frac{r - C_3 r_T}{C_4 \tau_T} \quad (11)$$

که در آن r شعاع قطره و C_3 و C_4 ثابت‌های مسئله هستند. با فرض ناچیز بودن اثرات پخش^۵، معادلات آشفتگی مربوط به آشفتگی هسته سوخت مایع به شکل زیر خواهد بود:

$$\frac{dk}{dt} = -\varepsilon + S_k \quad (12)$$

$$\frac{d\varepsilon}{dt} = -C \cdot \frac{\varepsilon}{k} \cdot (\varepsilon - S_k) \quad (13)$$

در معادله بالا k انرژی جنبشی آشفتگی، ε نرخ پراکندگی، C ثابت مدل و S_k عبارت منبع کاویتاسیون می‌باشد.

۴-۳ فروپاشی ثانویه - مدل موج

در این مدل فروپاشی قطره به صورت نرخ کاهش شعاع قطره نسبت به زمان ارایه شده است:

$$\frac{dr}{dt} = -\frac{(r - r_{stable})}{\tau_a} \quad (14)$$

که در آن r_{stable} شعاع نهایی قطره و متناسب با طول موج Λ متناظر با موج با سریع‌ترین رشد روی سطح قطره است:

$$r_{stable} = C_1 \Lambda \quad (15)$$

τ_a ، زمان فروپاشی مدل است که به صورت زیر محاسبه می‌شود:

$$\tau_a = \frac{3 \cdot 726 \cdot C_2 \cdot r}{\Lambda \cdot \Omega} \quad (16)$$

$$\Lambda = 9 \cdot 02 \cdot r \frac{(1 + 0 \cdot 45 \cdot oh^{0.5})(1 + 0 \cdot 4 \cdot T^{0.7})}{(1 + 0 \cdot 87 \cdot We_g^{1.67})^{0.6}} \quad (17)$$

$$\Omega = \left(\frac{\rho_g r^3}{\sigma}\right)^{-0.5} \frac{0 \cdot 34 + 0 \cdot 38 \cdot We_g^{1.5}}{(1 + oh)(1 + 1 \cdot 4 \cdot T^{0.6})} \quad (18)$$

۴. محاسبات عددی

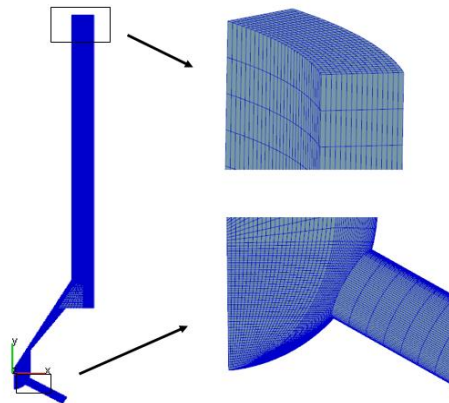
۱-۴ انژکتور

برای شبیه‌سازی جریان داخلی انژکتور از یک انژکتور تک سوراخه با نازل استوانه‌ای به قطر $0/2$ میلی‌متر و طول 1 میلی‌متر استفاده شده است. برای بررسی جریان داخلی انژکتور و حل معادلات بقایی از کد اقتصادی ای‌اوی‌ال فایر استفاده شده است که بر پایه روش حل عددی حجم محدود می‌باشد. شبکه‌بندی انژکتور به صورت شکل ۲ انجام شده است. با توجه به افت فشار درون سوراخ نازل انژکتور که منجر به ایجاد کاویتاسیون می‌شود، جریان چند فازی گرفته شده است. مشخصات هندسی انژکتور و شرایط کارکردی آن در جدول ۱ آمده است. با توجه به پیچیدگی جریان توربلانس نازل، برای حل معادلات توربلانس جریان نازل مدل شبیه‌سازی گرداب بزرگ انتخاب شده است.

جدول ۱: مشخصات نازل

| طول نازل (mm) | قطر خروجی نازل (mm) | قطر ورودی نازل (mm) | نوع سوراخ نازل |
|---------------|---------------------|---------------------|----------------|
|---------------|---------------------|---------------------|----------------|

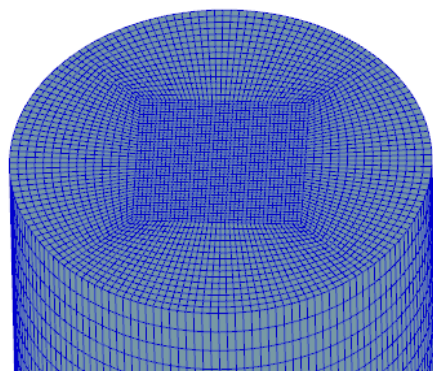
| | | | |
|------------|-----|-----|---|
| استوانه‌ای | ۰/۲ | ۰/۲ | ۱ |
|------------|-----|-----|---|



شکل ۲: مدل شبکه‌بندی انژکتور

۲-۴ افشاره

برای شبیه‌سازی افشاره از یک حجم محدود استوانه‌ای شکل به طول ۲۰ سانتی‌متر و قطر ۱۰ سانتی‌متر استفاده شده است که در شکل ۳ نشان داده شده است. برای افزایش دقت محاسبات در بخش ورودی محفظه احتراق جایی که سوخت پاشیده می‌شود از شبکه‌بندی ریزتری استفاده شده است.

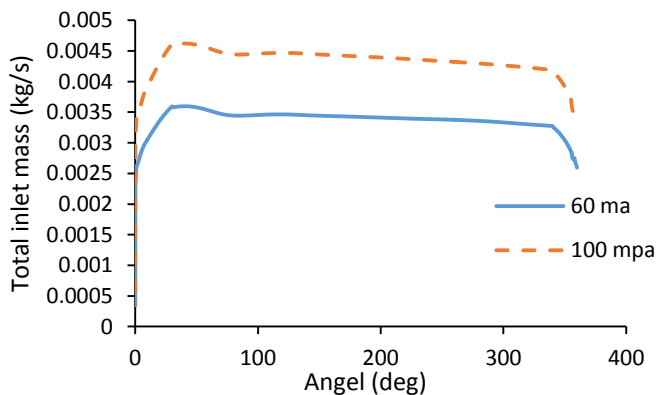


شکل ۳: شبکه‌بندی محفظه احتراق

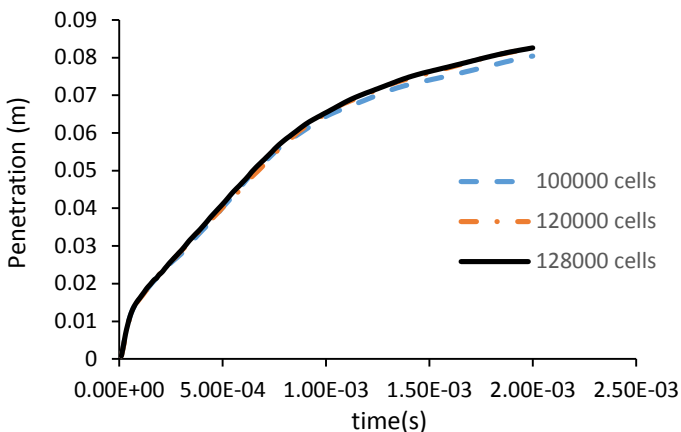
در کار حاضر از سوخت دیزل (DIESEL-D2) استفاده شده است و برای آن دو مقدار فشار تزریق ۶۰ و ۱۰۰ مگاپاسکال در نظر گرفته شده است. سیال مورداستفاده در محفظه احتراق، هوا بوده و مقدار فشار محفظه ۲ مگاپاسکال می‌باشد. دمای محفظه احتراق ثابت و برابر $293/15$ کلوین در نظر گرفته شده است. یکی از روش‌های رایج مطالعه افشانه، مطالعه افشانه در حالت سرد و غیر تبخیری است. در این شرایط مرکز مدل سازی بر اتمیزه شدن، متلاشی شدن و نیروهای مؤثر بر قطرات است. درواقع حتی با ساده‌سازی مسئله به حالت سرد، هنوز مشکلات زیادی در شبیه‌سازی وجود دارد که می‌توان به مشکلات مدل‌ها در فشارهای بالا اشاره کرد. در این شرایط تبخیر قابل توجهی اتفاق نخواهد افتاد. شبیه‌سازی افشانه سوخت به صورت ناپایا، وابسته به زمان، با پله‌های زمانی $0.1/0.1$ میلی‌ثانیه و مدت‌زمان پاشش 1 میلی‌ثانیه در نظر گرفته شده است. نرخ پاشش سوخت برای هر دو فشار تزریق ۶۰ و ۱۰۰ مگاپاسکال که مستقیماً از نتایج خروجی انژکتور بدست آمده است، در شکل ۴ آورده شده است. برای بررسی عدم وابستگی نتایج افشانه به تعداد شبکه‌های محفظه احتراق، نتایج حاصله برای تعداد شبکه‌های متعددی بدست آمده است. با توجه به شکل ۵ طول نفوذ افشانه سوخت در 128000 سلول رفتار یکنواخت‌تری دارد.

در بخش گسسته سازی، برای محاسبه مقادیر شرایط مرزی از روش برون‌بایی^۶ و برای محاسبه مشتقات از روش کمترین مربعات استفاده شده است. برای کوپل سرعت و فشار، الگوریتم سیمپل^۷ مورداستفاده قرار گرفته است. معادلات به کاررفته معادلات مومنتوم، پیوستگی و توربولانس می‌باشند. و برای مدل سازی توربولانس از مدل $k\text{-}\epsilon$ استفاده شده است.

برای گسسته سازی معادلات مومنتوم و پیوستگی از روش تفاضل محدود و برای معادلات توربولانس از روش بالادست^۸ استفاده شده است. مقادیر ورودی برای افشانه از نتایج خروجی جریان چند فازی انژکتور بدست آمده‌اند. در طول تزریق ورودی و خروجی سیلندر بسته می‌ماند، بنابراین برای شرایط مرزی حجم کنترل، دیوار انتخاب شده‌اند.



شکل ۴: دبی جرمی سوخت ورودی به انژکتور



شکل ۵: استقلال طول نفوذ افشاره از شبکه‌بندی

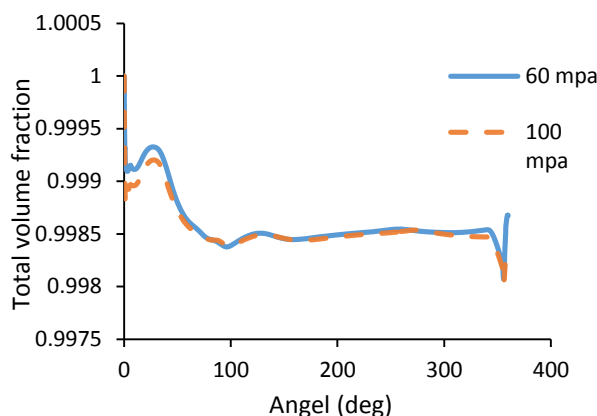
۵. نتایج حل عددی و بحث

۱-۵ جریان داخل نازل

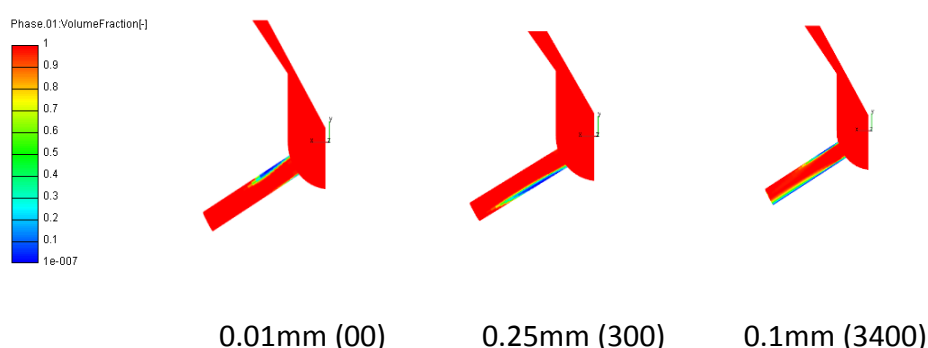
کاویتاسیون یکی از مهمترین پدیده‌ای است که روی رفتار هیدرودینامیکی افشاره سوخت تأثیر می‌گذارد. رشد و ترکیدن حباب‌های کاویتاسیون از جمله مهمترین عواملی است که فروپاشی قطرات افشاره را تسهیل می‌کند. به عبارت دیگر وقوع کاویتاسیون در سوراخ نازل کیفیت اتمیزاسیون را بهبود می‌دهد. در این بخش تعدادی از نتایج دوبعدی و سهبعدی جریان داخل نازل انژکتور نشان داده شده است. کسر حجمی فاز مایع از مهمترین مشخصه‌های پدیده کاویتاسیون می‌باشد که می‌تواند شدت وقوع پدیده کاویتاسیون را نشان دهد.

نمودار کسر حجمی فاز مایع برای دو فشار ۶۰ و ۱۰۰ مگاپاسکال در شکل ۶ نشان داده شده است. بیشترین مقدار کسر حجمی فاز مایع برابر ۱ و کمترین آن ۰ می‌باشد. فشار تزریق بالا باعث افزایش سرعت سوخت در اریفیس انژکتور می‌شود بنابراین باعث به وجود آمدن پدیده کاویتاسیون می‌شود. در فشارهای بالا کاویتاسیون سریع رشد می‌کند و باعث تولید حباب‌های زیادی می‌شود.

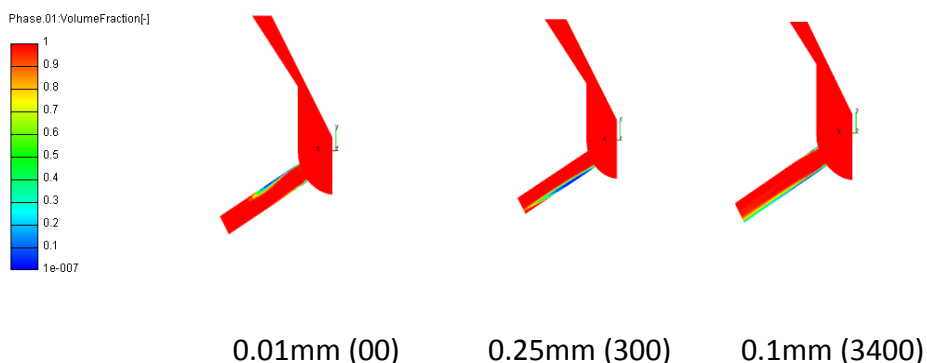
در شکل‌های ۷ و ۸ توزیع کسر حجمی فاز مایع درون حجم کنترل با فشار پاشش ۶۰ و ۱۰۰ مگاپاسکال در موقعیت‌های مختلف سوزن با سه زاویه متفاوت آورده شده است. همان‌طور که در شکل دیده می‌شود در زاویه ۰ درجه سوزن در پایین‌ترین محل خود قرار دارد و مسیر جریان بسته می‌باشد و در زاویه ۳۰ درجه سوزن کاملاً بالا رفته و مسیر جریان سوخت باز می‌باشد، سپس رفته‌رفته با پایین آمدن سوزن مسیر جریان بسته می‌شود.



شکل ۶: نمودار کسر حجمی فاز مایع



شکل ۷: توزیع کسر حجمی فاز مایع درون حجم کنترل با فشار پاشش ۶۰ مگاپاسکال

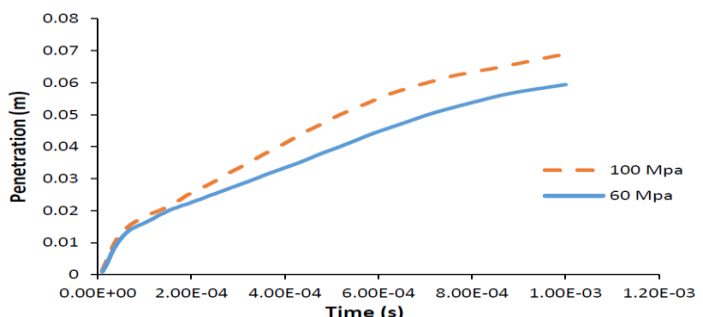


شکل ۸: توزیع کسر حجمی فاز مایع درون حجم کنترل با فشار پاشش 100 MPa

همان‌طور که در شکل‌های ۷ و ۸ دیده می‌شود در ناحیه ورودی نازل که به دلیل تغییر ناگهانی و شدید سطح مقطع فشار موضعی افت پیدا می‌کند و مقدار فاز بخار شروع به افزایش می‌کند و بر میزان حباب‌های کاویتاسیونی افزوده می‌شود. مقایسه شکل‌ها نشان می‌دهند که برای هر دو فشار تزریق پدیده کاویتاسیون ایجاد شده است اما برای فشار تزریق 100 MPa کاویتاسیون تا انتهای خروجی نازل ادامه پیدا کرده است، به عبارت دیگر برای فشار 100 MPa مگاپاسکال میزان فاز بخار افزایش پیدا می‌کند و موجب ایجاد بهتر پدیده کاویتاسیون می‌شود.

۲-۵ افشاره

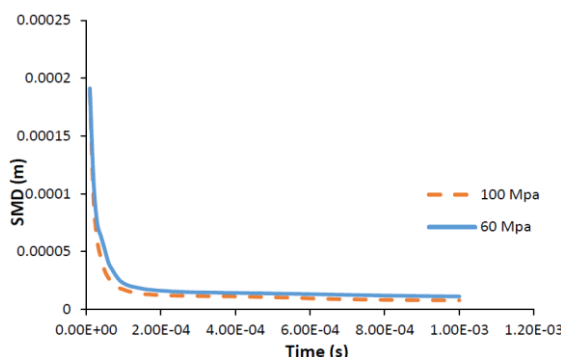
برای بررسی رفتار افشاره سوخت دو مشخصه طول نفوذ افشاره و قطر میانگین قطرات که از مهم‌ترین معیارهای بررسی رفتار افشاره می‌باشد مورد بررسی قرار گرفته‌اند. در شکل ۹ طول نفوذ افشاره در مقابل زمان پاشش سوخت برای دو فشار تزریق 60 MPa و 100 MPa مگاپاسکال نشان داده شده است.



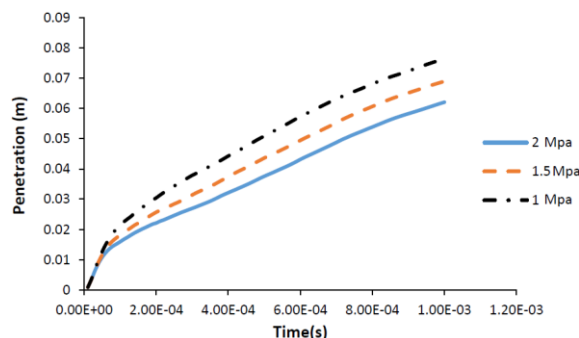
شکل ۹: طول نفوذ افشاره برای دو فشار تزریق 60 MPa و 100 MPa مگاپاسکال

با توجه به شکل ۹، طول نفوذ افشاره با گذشت زمان افزایش می‌یابد که به مفهوم نفوذ بیشتر افشاره به داخل محفظه احتراق است. با افزایش فشار تزریق مقدار طول نفوذ افشاره افزایش می‌یابد. شکل ۱۰ قطر میانگین قطرات در مقابل زمان پاشش سوخت برای دو فشار تزریق ۶۰ و ۱۰۰ مگاپاسکال را نشان می‌دهد.

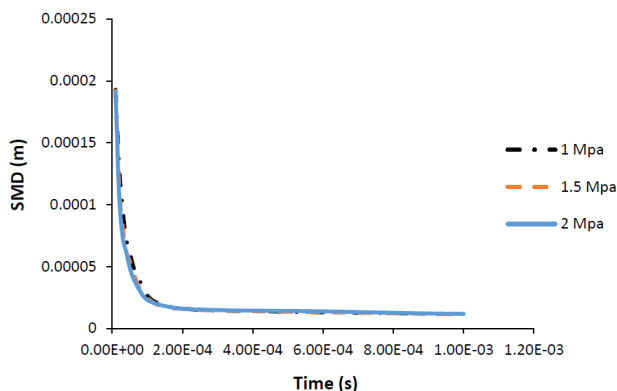
با توجه به شکل ۱۰ نتیجه می‌شود که قطر میانگین قطرات خروجی از نازل با گذشت زمان کاهش می‌یابد که بیانگر تجزیه سوخت پاشیده شده به ذرات ریزتر در اثر مکانیسم‌های فروپاشی اولیه و ثانویه می‌باشد. در شروع تزریق روند این تغییرات بسیار شدید است ولی با گذشت زمان کاهش می‌یابد. افزایش فشار تزریق باعث افزایش سرعت سوخت در اریفیس انژکتور می‌شود که باعث اتمیزاسیون بهتر می‌شود و قطر متوسط ذرات کاهش می‌یابد. شکل ۱۱ تأثیر فشار محفظه احتراق بر روی طول نفوذ افشاره را نشان می‌دهد. با افزایش فشار محفظه احتراق طول نفوذ افشاره کمتر می‌شود. با توجه به شکل ۱۱ در فشار محفظه ۲ مگاپاسکال افشاره دارای کمترین طول نفوذ و در فشار محفظه ۱ مگاپاسکال دارای بیشترین طول نفوذ می‌باشد. شکل ۱۲ نیز تأثیر فشار محفظه احتراق بر روی قطر میانگین قطرات را نشان می‌دهد.



شکل ۱۰: قطر میانگین قطرات برای دو فشار تزریق ۶۰ و ۱۰۰ مگاپاسکال

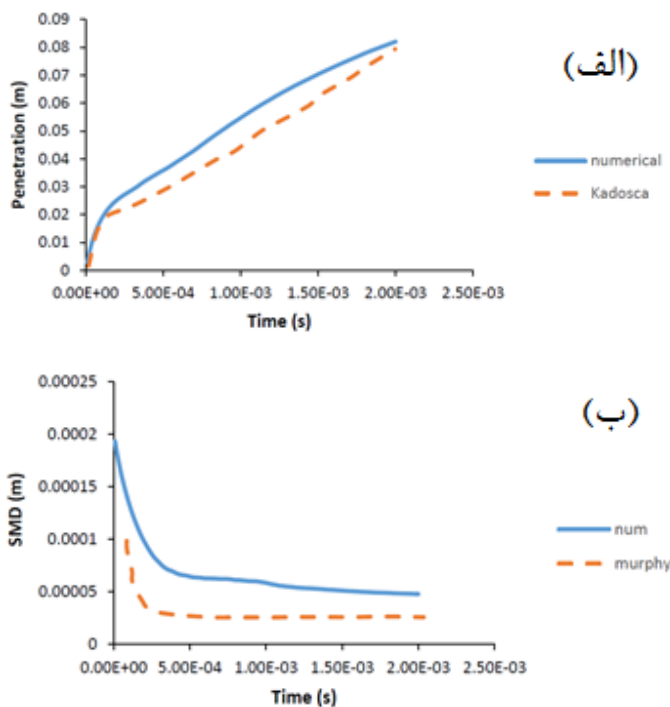


شکل ۱۱: تأثیر فشار محفظه احتراق بر روی طول نفوذ افشاره



شکل ۱۲: تأثیر فشار محفظه احتراق بر روی قطر میانگین قطرات

با توجه به این که با افزایش فشار محفظه احتراق طول نفوذ افشاره کمتر می‌شود بنابراین فرایند اتمیزاسیون به خوبی صورت نمی‌گیرد و قطر میانگین قطرات نسبت به حالت فشار محفظه کم، بیشتر می‌باشد. برای دستیابی به دقیق نتایج بدست آمده، داده‌های عددی برای طول نفوذ افشاره و قطر متوسط قطرات با نتایج تجربی [۱۵ و ۱۶] مقایسه شده است. با توجه به شکل ۱۳ تطابق خوبی بین نتایج عددی و نتایج تجربی وجود دارد.



شکل ۱۳: اعتبار سنجی نتایج مطالعه حاضر با نتایج تجربی و عددی

(الف) طول نفوذ افشاره ، (ب) قطر میانگین قطرات

۶. نتیجه‌گیری

در این مقاله، پاشش سوخت و رفتار هیدرودینامیک افشاره سوخت، تحت پدیده کاویتاسیون داخل مجرای انژکتور در محفظه احتراق موتور دیزل به صورت عددی مورد مطالعه قرار گرفته است. شبیه‌سازی‌های انجام‌گرفته برای فشار تزریق ۶۰ و ۱۰۰ مگاپاسکال و فشار محفظه احتراق برابر ۲ مگاپاسکال می‌باشد. با بررسی جریان داخل نازل انژکتور مشخص شد که برای هر دو فشار تزریق، پدیده کاویتاسیون ایجاد شده است اما برای فشار تزریق ۱۰۰ مگاپاسکال کاویتاسیون تا انتهای خروجی نازل ادامه پیدا کرده است، به عبارت دیگر برای فشار ۱۰۰ مگاپاسکال میزان فاز بخار افزایش پیدا می‌کند و موجب ایجاد بهتر پدیده کاویتاسیون می‌شود. بنابراین فشار تزریق بالا باعث افزایش سرعت سوخت در اریفیس انژکتور می‌شود و باعث به وجود آمدن پدیده کاویتاسیون می‌شود. در فشارهای بالا کاویتاسیون سریع رشد می‌کند درنتیجه باعث تمیزاسیون بهتر می‌شود و قطر متوسط ذرات کاهش می‌یابد. برای بررسی رفتار افشاره سوخت دو معیار مهم طول نفوذ افشاره و قطر میانگین قطرات بررسی شده است. طول نفوذ افشاره باگذشت زمان در داخل محفظه احتراق افزایش می‌یابد و قطر میانگین قطرات خروجی از نازل کاهش می‌یابد که بیانگر تجزیه سوخت پاشیده شده به ذرات ریزتر در اثر مکانیسم‌های فریوپاشی اولیه و ثانویه می‌باشد. نتایج نشان می‌دهد برای فشار تزریق ۱۰۰ مگاپاسکال طول نفوذ افشاره بیشتر از فشار تزریق ۶۰ مگاپاسکال می‌باشد و همچنین قطر میانگین قطرات در فشار تزریق ۱۰۰ کمتر از فشار تزریق ۶۰ مگاپاسکال می‌باشد.

کاهش طول نفوذ باعث می‌شود عمل اختلاط سوخت با هوا به خوبی صورت نگیرد و باعث تولید NOX شود که باعث آلودگی می‌گردد. همچنین در حالت افزایش طول نفوذ افشاره سوخت، امکان برخورد افشاره با دیواره محفظه احتراق و تولید دوده وجود دارد. در هر دو مورد بالا مصرف سوخت موتور افزایش یافته و احتراق دچار مشکل می‌شود و درنتیجه باعث افزایش گازهای آلایندگی موتور می‌شود.

۷. منابع

- [1] A. Mohammadi, Y. Kidoguchi, K. Miwa, Effect of injection parameters and wall-impingement on atomization and gas entrainment processes in diesel sprays, SAE paper, 2002-01-0497, 2002.

- [2] E. De Villiers, A. Gosman, H. Weller, Large Eddy simulation of primary diesel spray atomization, SAE Paper, 2004, 01-0100.
- [3] H. Chaves, M. Knapp, A. Kubitzek, Experimental study of cavitation in a nozzle hole of diesel injector Ising transparent Nozzle, SAE paper 1996. 962004,
- [4] Mohammad Taghi Shervani-Tabar, Soran Parsa ,Morteza Ghorbani , Numerical study on the effect of the cavitation phenomenon on the characteristics of fuel spray, Mathematical and Computer Modelling 56 (2012) 105–117.
- [5] F. Payri, V. Bermudez, R. Payri, F.J. Salvador, The influence of cavitation on the internal flow and spray characteristics in diesel injection nozzles, Fuel J. (Sep.) (2004) 419–431.
- [6] H.K. Lee, M.F. Russell, C.S. Bae, H.D. Shin, Development of cavitation and enhanced injector models for diesel fuel injection system simulation, Department of Mechanical Engineering, Korea Advanced Institute of Science and Technology, South Korea, 2002.
- [7] J.M. Desantes, R. Payri, F.J. Salvador, J. Gimeno, Measurements of spray momentum for the study of cavitation in diesel injection nozzles, Society of Automotive Engineers, 2003-01-0703.
- [8] Payri R., Salvador F.J., Gimeno J., Zapata L.D., Diesel nozzle geometry influence on spray liquid-phase fuel penetration in evaporation conditions, FUEL 87 (2008) 1165–1176.
- [9] G.W. Brown, H. McCallion, Simulation of an injection system with delivery pipe cavitation using a digital computer, Proc. Instn. Mech. Engrs 182 (1967–1968) Pt3L.
- [10] E.B. Wylie, J.A. Bott, M.F. El-Erian, Diesel fuel injection system simulation and experimental correlation, SAE Paper, 1971, No. 710569.
- [11] Hyun Kyu Suh, Chang Sik Lee, Effects of cavitation in nozzle orifice on the diesel fuel atomization characteristics, International Journal of Heat and Fluid Flow 29 (2008) 1001–1009.
- [12] Milan Vujanovic', Zvonimir Petranovic', Wilfried Edelbauer, Jakov Baleta, Neven Duic', Numerical modelling of diesel spray using the

Eulerian multi-phase Approach, Energy Conversion and Management, 2015.

[13] Gang Wu, Xinyi Zhou, Tie Li, Temporal Evolution of Split-Injected Fuel Spray at Elevated Chamber Pressures, Energies, 2019.

[14] AVL – FIRE HELP,Eulerian Multiphase,FIRE ,version 2013.

[15] András Kadocsá, Reinhart Tatschl, Gergely Kristóf , Analysis of spray evolution in internal combustion engines using numerical simulation, Journal of Computational and Applied Mechanics, Vol. 8., No. 1., (2007), pp. 85–100.

[16] J. Murphy, D. Schmidt, S.P. Wang, M.L. Corradini , Multi-dimensional modelling of multiphase flow physics: high-speed nozzle and jet flows -a case study , Nuclear Engineering and Design 204 (2001) 177–190.